

## 1 Введение

Управление объектом, имеющим много степеней подвижности, довольно сложная задача. Она ещё усложняется, если степени подвижности влияют друг на друга и если количество и/или расположение движителей не соответствует степеням подвижности.

Рассмотрим задачу в общем виде.

Пусть есть объект управления (ОУ), описываемый следующим дифференциальным уравнением:

$$U(t) = F(t, y, y^{(1)}, y^{(2)} \dots, y^{(n-1)}) \quad (1.1)$$

где  $U(t)$  – управление, зависящее (вообще говоря) от времени;

$t$  – время;

$F(*)$  – функция управления;

$y = y(t)$  – управляемая величина;

$y^{(i)} = y^{(i)}(t)$  –  $i$ -я производная по времени ( $i \leq n - 1$ ).

Под управляемой величиной будем понимать три параметра: положение, скорость (производную от положения) и ускорение (производную от скорости). Поэтому, в системе уравнений (1.1)  $i$ -я производная может быть и отрицательной – то есть, будем считать  $y^{(-1)}$  – интегралом от  $y(t)$ , а  $y^{(-2)}$  – интегралом от интеграла и т.д. То есть, если управляемой величиной является положение, то

$$i \geq 0$$

если управляем скоростью –

$$-1 \leq i \leq +1$$

Управляя же ускорением, имеем

$$i \leq 0.$$

Задача классическая: создать такое управление, чтобы рассогласование  $e$  между заданием  $y_g$  и текущим положением (отработкой)  $y_c$  было

минимальным. Рассмотрим некоторое текущее состояние ОУ, которое назовём начальным:

$$\begin{aligned} e(0) &= e_0 \\ &\dots \\ e^{(i)}(0) &= e_{i0} \end{aligned} \tag{1.2}$$

где  $e, e_0$  – рассогласование и текущее рассогласование системы;  
 $e^{(i)}, e_{i0}$  –  $i$ -я производная рассогласования по времени.

Естественно, что наличие констант задания не меняет величины производных, поэтому логично систему состояний (1.2) переписать в следующем виде:

$$\begin{aligned} e &= y_g - y_c \\ &\dots \\ e^{(i)} &= y^{(i)}(t) \Big|_{t=0} \end{aligned} \tag{1.3}$$

Для решения поставленной задачи логично постараться свести все текущие операторы рассогласования к нулю. Здесь можно предложить параметризованную функцию  $y(t) = f(t)$ , которая даст траектории движения ОУ к цели в фазовом пространстве, и количество параметров которой равно удвоенному порядку дифференциального уравнения (1.1) плюс 2, то есть,  $2n$ . Для определения этих параметров требуется решить систему уравнений, естественно вытекающих из системы (1.3). Но в системе (1.3) всего  $n$  уравнений, поэтому требуется расширить систему (1.3) условиями в целевом состоянии:

$$\begin{aligned} e(t_1) &= 0 \\ &\dots \\ e^{(i)}(t_1) &= 0 \end{aligned} \tag{1.4}$$

То есть для определения параметров функции  $f(t)$ , требуется решить систему из  $2n$  уравнений, описывающую состояния ОУ в начальный и в

конечный момент времени, т.е. в системы (1.3) и (1.4) подставить соответствующие производные от  $f$ .

Получив таким образом функцию управляемого параметра от времени  $y = f(t)$ , подставляем её в уравнение (1.1). Получаем требуемое управление.

Здесь есть дополнительная сложность. Дело в том, что скорость изменения управления  $U(t)$  ограничена. Поэтому единственный такт управления, скорее всего, не сможет полностью погасить рассогласование. Отсюда возникает дополнительный параметр  $t_1$  – время на выполнение операции. Его можно определить исходя из выражения

$$\begin{aligned} |\dot{U}(\tau_{i3})| &\leq U_{1max}, \\ \tau_{i3} : \dot{U}(\tau_{i3}) &= 0 \end{aligned}$$

где  $U_{1max}$ , естественно, максимальная скорость роста управления. И ещё: само управление  $U(t)$  ограничено по величине. То есть имеем ещё одно выражение для определения управляющей фазовой траектории

$$\begin{aligned} |U(t_{i3})| &\leq U_{max}, \\ t_{i3} : \dot{U}(t_{i3}) &= 0 \end{aligned}$$

Тем не менее, этого можно не делать, то есть не находить время на выполнения операции  $t_1$ . Дело в том, что реальное устройство привода объекта управления и так имеет как некоторую определённую разгонную характеристику, так и определённое максимальное значение, и их не превысить. Более того, как показано чуть ниже, даже знание этих характеристик не является строго обязательным.

Теперь будем рассматривать реальную цифровую СУ с тактом управления, который здесь обозначим  $\Delta t$ . Пусть на каждом такте управления считается, что управляется «с нуля». То есть, функцию  $y(t)$  «отвязываем» от параметра времени  $t$  и делаем константой на каждом такте, где в качестве времени применяем длительность одного такта (то есть, считаем  $t =$  временем одного такта).

Пусть также в качестве фазовой траектории управляемой величины выбираем полиномиальную функцию:

$$y(t) = at^5 + bt^4 + ct^3 + dt^2 + et + f, \quad (1.5)$$

Полином выбран по причине того, что кривую нечётной степени можно настроить не только на требующиеся значения, но и требующиеся производные на концах отрезка.

Далее составляем две системы уравнений (1.3) и (1.4) и после упрощений получаем результат

$$y(t) = \frac{t^2 a_0}{2} + e_0 - \frac{6t^5 e_0}{t_1^5} + \frac{15t^4 e_0}{t_1^4} - \frac{t^5 a_0}{2t_1^3} - \frac{10t^3 e_0}{t_1^3} + \frac{3t^4 a_0}{2t_1^2} - \frac{3t^3 a_0}{2t_1} + tv_0 - \frac{3t^5 v_0}{t_1^4} + \frac{8t^4 v_0}{t_1^3} - \frac{6t^3 v_0}{t_1^2} \quad (1.6)$$

где  $e_0$  – рассогласование управляемой величины;  
 $v_0$  – текущая производная управляемой величины;  
 $a_0$  – текущая производная  $v_0$ .

Нет никаких противоречий в том, чтобы считать текущее время начальным (т.е. нулевым), время следующего такта равным времени такта управления  $t = \Delta t$ , а время на всё управление считаем двойным тактом  $t_1 = 2\Delta t$ .

При таких допущениях получаем компактные формулы для величины, скорости и ускорения (не зависящие от управляемого объекта):

$$\begin{aligned} q &= \frac{a_0 \Delta t^2 + 8e_0 + 5 \Delta t v_0}{16} \\ q' &= - \frac{a_0 \Delta t^2 + 15 e_0 + 7 \Delta t v_0}{16 \Delta t} \\ q'' &= - \frac{a_0 \Delta t + 3 v_0}{4 \Delta t} \end{aligned} \quad (1.7)$$

Здесь специально введены обозначения  $q$ ,  $q'$  и  $q''$  чтобы их не путать с производными по времени, обозначаемыми точками.

Для иллюстрации рассмотрим простые примеры. Сложные случаи будут приведены в последующих главах.

Пусть имеется звено 2-го порядка, описывающееся уравнением:

$$U(t) = A \ddot{y} + B \dot{y} + C y, \quad (1.8)$$

где  $A, B, C$  – константы;

$y = y(t)$  – управляемая величина.

Пусть также в качестве управляемой величины выбрана полиномиальная функция (1.5).

Подставляя (1.6) в уравнение (1.8) и упрощая<sup>1</sup> получаем громоздкое выражение для управления

$$\begin{aligned} u(t) = & e_0 \left( Bv_1 - \frac{180At^5}{t_1^7} + \frac{300At^4}{t_1^6} + \frac{30Ct^5}{t_1^6} - \frac{120At^3}{t_1^5} - \frac{60Ct^4}{t_1^5} + \frac{30Ct^3}{t_1^4} \right) + \\ & v_0 \left( Bv_1 - \frac{60At^5}{t_1^6} + \frac{96At^4}{t_1^5} + \frac{12Ct^5}{t_1^5} - \frac{36At^3}{t_1^4} - \frac{24Ct^4}{t_1^4} + \frac{12Ct^3}{t_1^3} \right) + \\ & a_0 \left( Bv_1 - \frac{6At^5}{t_1^5} + \frac{9At^4}{t_1^4} + \frac{3Ct^5}{2t_1^4} - \frac{3At^3}{t_1^3} - \frac{3Ct^4}{t_1^3} + \frac{3Ct^3}{2t_1^2} \right), \end{aligned} \quad (1.9)$$

Определить величину  $t_1$ , как говорилось выше, можно по величине изменения управления. Здесь надо заметить, что лишь на концах отрезка производная от функции (1.8) максимальна по абсолютной величине – см. рисунок 1.1, где приводится график для конкретных параметров.

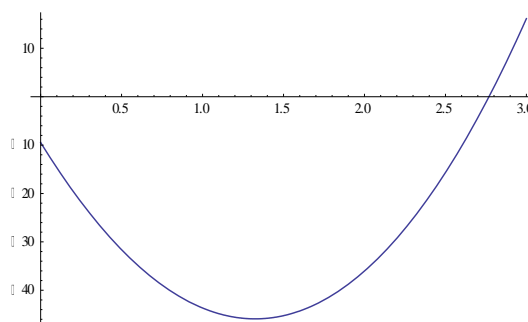


Рисунок 1.1 – График функции управления

Рассмотрим внимательнее формулу (1.8). В ней специально сгруппированы величины при  $e_0$ ,  $v_0$  и  $a_0$ . Так как параметр времени  $t = \Delta t$  всегда равен длительности такта управления (т.е., на каждом такте управляем «как в первый раз»), а параметр длительности управления есть  $t_1 = 2\Delta t$ , то в скобках при  $e_0$ ,  $v_0$  и  $a_0$  находятся константы. То есть закон управления, в общем виде, выглядит следующим образом:

<sup>1</sup> - Упрощения, как и все преобразования в настоящей работе, выполнялись в системе Wolfram Mathematica

$$U(t) = \text{const1} * e_0 + \text{const2} * v_0 + \text{const3} * a_0, \quad (1.10)$$

Вспомнив, что  $v_0$  является производной от  $e_0$  и т.д. видим, что это аналитический вывод ПИД-регулятора.

То есть, формулы (1.9) и (1.10) – пропорционально-интегрально-дифференциальный регулятор (ПИД-регулятор) – дифференциальный регулятор 2-го порядка. Причём, надо заметить, что этот регулятор *адаптивный*, так как коэффициенты вычисляются не один раз и навсегда, как в классическом ПИД-регуляторе, а на каждом такте управления в зависимости от текущих рассогласований.

В общем виде дифференциальный регулятор  $n$ -ного порядка выглядит следующим образом:

$$U(t) = \sum_{i=0}^n C_i e^{(i)}$$

На практике же, регулятор выше 2-го порядка использовать проблематично.

Второй пример.

Пусть имеется подводный аппарат, одна степень подвижности которого описывается *нелинейным* дифференциальным уравнением

$$U(t) = A \dot{v}(t) - C_x v^2(t), \quad (1.11)$$

где  $A$  и  $C_x$  – константы,  
 $v(t)$  – скорость аппарата.

Первое слагаемое правой части – закон Ньютона ( $F = ma$ ), второе – закон гидродинамического сопротивления, которое пропорционально квадрату скорости. Отличие от первого примера в том, что тут зависимость не линейна.

Для этого объекта хочется минимизировать положение, т.е. интеграл от управляемой величины – скорости. Поэтому в качестве пожелания рассмотрим полином пятой же степени, но уже для положения:

$$s(t) = at^5 + bt^4 + ct^3 + dt^2 + et + f, \quad (1.12)$$

Поступая способом, полностью аналогичным первому примеру, получаем зависимость управления:

$$\begin{aligned} U(t) = & \frac{900t^{10}c_x e_0^2}{t_1^{12}} - \frac{3600t^9c_x e_0^2}{t_1^{11}} + \frac{5400t^8c_x e_0^2}{t_1^{10}} - \frac{3600t^7c_x e_0^2}{t_1^9} + \frac{900t^6c_x e_0^2}{t_1^8} \\ & + \frac{27t^8a_0^2c_x}{2t_1^6} + \frac{9t^{10}a_0^2c_x}{4t_1^8} - \frac{9t^7a_0^2c_x}{t_1^5} + \frac{9t^6a_0^2c_x}{4t_1^4} \\ & + \frac{144t^{10}c_x v_0^2}{t_1^{10}} - \frac{576t^9c_x v_0^2}{t_1^9} + \frac{864t^8c_x v_0^2}{t_1^8} - \frac{576t^7c_x v_0^2}{t_1^7} + \frac{144t^6c_x v_0^2}{t_1^6} \\ & - \frac{180At^5e_0}{t_1^7} + \frac{300At^4e_0}{t_1^6} - \frac{120At^3e_0}{t_1^5} \\ & - \frac{60At^5v_0}{t_1^6} + \frac{96At^4v_0}{t_1^5} - \frac{36At^3v_0}{t_1^4} \\ & - \frac{6At^5a_0}{t_1^5} + \frac{9At^4a_0}{t_1^4} - \frac{3At^3a_0}{t_1^3} \\ & + \frac{90t^{10}a_0c_x e_0}{t_1^{10}} - \frac{360t^9a_0c_x e_0}{t_1^9} + \frac{540t^8a_0c_x e_0}{t_1^8} - \frac{360t^7a_0c_x e_0}{t_1^7} + \frac{90t^6a_0c_x e_0}{t_1^6} \\ & + \frac{720t^{10}c_x e_0 v_0}{t_1^{11}} - \frac{2880t^9c_x e_0 v_0}{t_1^{10}} - \frac{2880t^7c_x e_0 v_0}{t_1^8} + \frac{4320t^8c_x e_0 v_0}{t_1^9} + \frac{720t^6c_x e_0 v_0}{t_1^7} \\ & + \frac{36t^{10}a_0c_x v_0}{t_1^9} - \frac{144t^9a_0c_x v_0}{t_1^8} + \frac{216t^8a_0c_x v_0}{t_1^7} - \frac{144t^7a_0c_x v_0}{t_1^6} + \frac{36t^6a_0c_x v_0}{t_1^5} \end{aligned} \quad (1.13)$$

Здесь по причине нелинейности уравнения динамики (1.11) получили нелинейный ПИД-регулятор.

Разумеется, использовать такие сложные формулы, как (1.9) и (1.13), на практике невозможно. Поэтому их применение осуществляется так, как показано на рисунке 1.2.

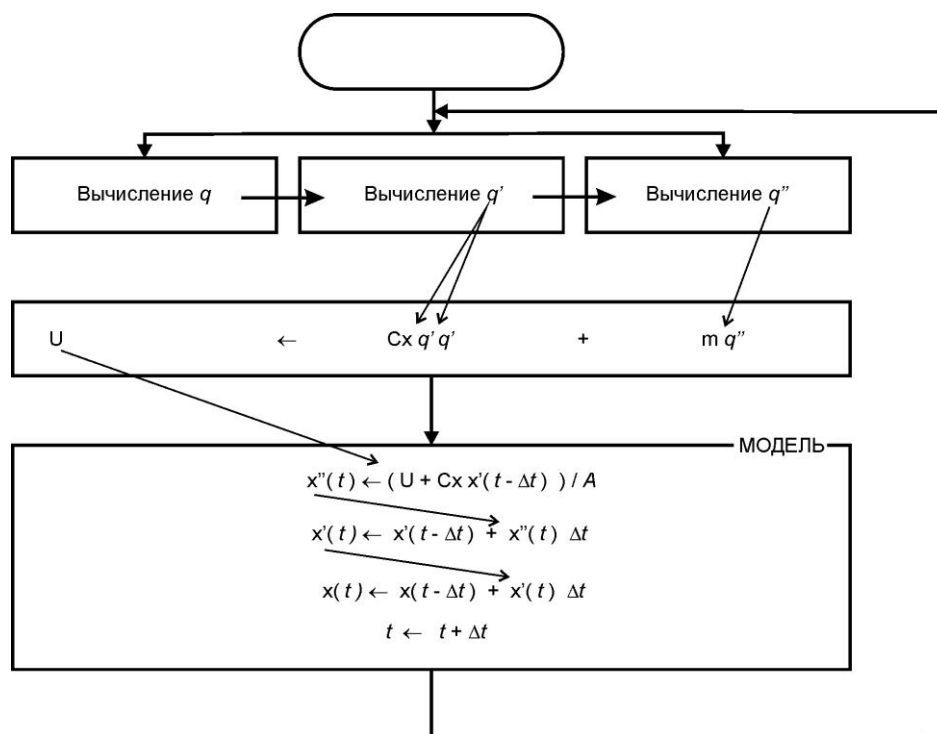


Рисунок 1.2 – Алгоритм применения формул (1.9) и (1.13).

Для одномерного случая получаем результаты отработки – перемещение на 10 метров объекта в воде, масса которого 10 кг. Результаты приведены на рисунках 1.3.

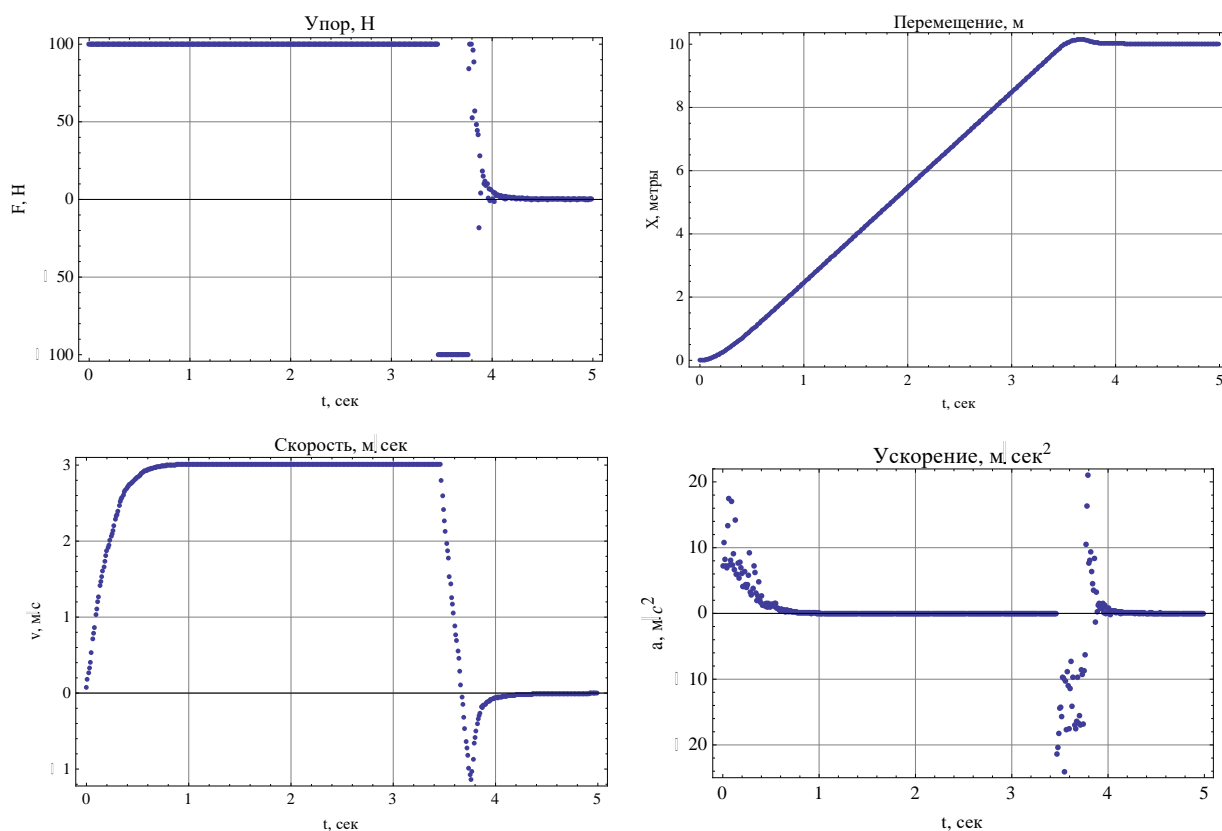




Рисунок 1.3 – Графики отработки перемещения на 10 метров

Двумерный случай: обе степени подвижности друг на друга не влияют.

Результаты – рисунок 1.4.

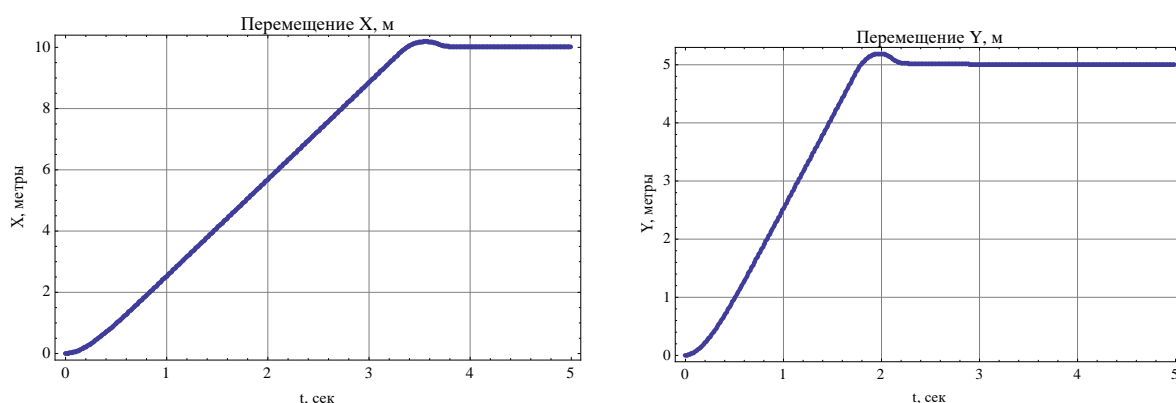


Рисунок 1.4 – Результаты отработки для двумерного случая

По графикам видно, что отработка происходит удовлетворительно с перерегулированием менее 3%. С другой стороны, оба канала управления работают не синхронно и ОУ по координатам достигает целей не согласованно.

Рассмотрим более сложный плоский пример, где есть три степени подвижности и два привода, которые влияют друг на друга – см. схему «гантели» на рисунке 1.5

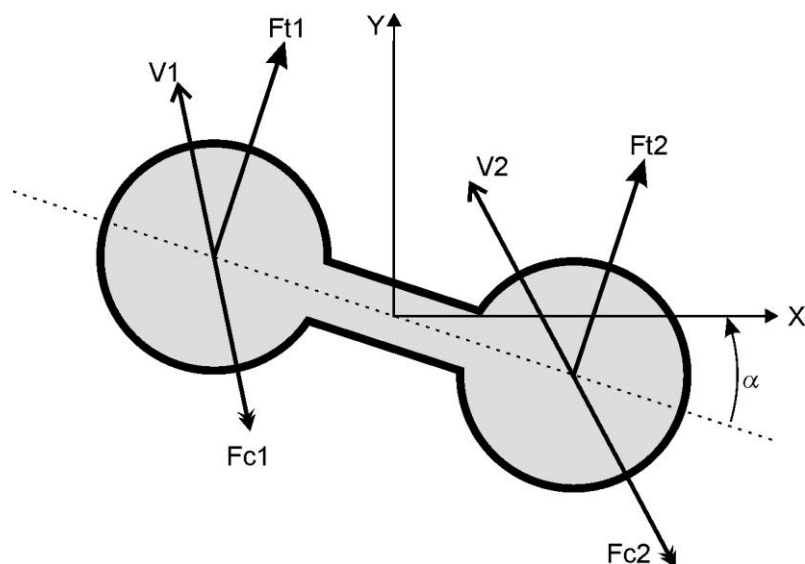


Рисунок 1.5 – Схема «гантели»

Здесь  $F_{t1}$  и  $F_{t2}$  – силы тяги (упоры) приводов, которые направлены ортогонально продольной оси аппарата (штриховая линия),  $V_1$  и  $V_2$  – скорости шаров и им противоположно направленные силы сопротивления

среды Fc1 и Fc2. Для демонстрации всех деталей приведу полную схему построения модели и системы управления к ней.

Модель строится по методу уравнений Эйлера-Лагранжа.

Рассмотрим обобщённые координаты: это перемещение по оси абсцисс  $x$ , ординат  $y$  и поворот на угол  $\alpha$ . Обобщённые силы:

$$\begin{aligned} Q_x &= F_{T1x} + F_{T2x} - 2 C_x \dot{x}(t)|\dot{x}(t)| \\ Q_y &= F_{T1y} + F_{T2y} - 2 C_x \dot{y}(t)|\dot{y}(t)| \\ Q_\alpha &= \frac{F_{T2} - F_{T1}}{2} l - 2 C_x l^2 \dot{\alpha}(t)|\dot{\alpha}(t)| \end{aligned} \quad (1.14)$$

где  $Q_x, Q_y$  и  $Q_\alpha$  – обобщённые силы;

$F_{T1x}, F_{T1y}$  и  $F_{T2x}, F_{T2y}$  – проекции упоров  $F_{T1}$  и  $F_{T2}$  на оси координат;

$C_x$  – лобовое сопротивление при скорости 1 м/сек (то есть в формулу с  $S \frac{\rho v^2}{2}$  подставлена скорость  $v = 1$  м/с);

$l$  – расстояние между центрами шаров.

Отсюда получаем уравнения движения:

$$\begin{aligned} \ddot{x}(t) &= \frac{-(F_{T1} + F_{T2})\sin(\alpha(t)) - 2 C_x \dot{x}(t)|\dot{x}(t)|}{m} \\ \ddot{y}(t) &= \frac{(F_{T1} + F_{T2})\cos(\alpha(t)) - 2 C_x \dot{y}(t)|\dot{y}(t)|}{m} \\ \ddot{\alpha}(t) &= \frac{(F_{T2} - F_{T1})l - C_x l^2 \dot{\alpha}(t)|\dot{\alpha}(t)|}{J} \end{aligned} \quad (1.15)$$

где  $J$  – момент инерции относительно начала координат.

Уравнения движения (1.15) используем в модели. Но из этих же уравнений получаем и значения упоров, предназначенных для выполнения целевых перемещений:

$$\begin{aligned} F_{T1} &= \frac{2J(s - c)\ddot{\alpha} + l m(\ddot{x} + \ddot{y}) + 2\dot{\alpha} l(s - c)|\dot{\alpha}| + 2C_x l(\dot{x}|\dot{x}| + \dot{y}|\dot{y}|)}{2l(c - s)} \\ F_{T2} &= \frac{2J(c - s)\ddot{\alpha} + l m(\ddot{x} + \ddot{y}) - 2\dot{\alpha} l(s - c)|\dot{\alpha}| + 2C_x l(\dot{x}|\dot{x}| + \dot{y}|\dot{y}|)}{2l(c - s)} \end{aligned} \quad (1.16)$$

где

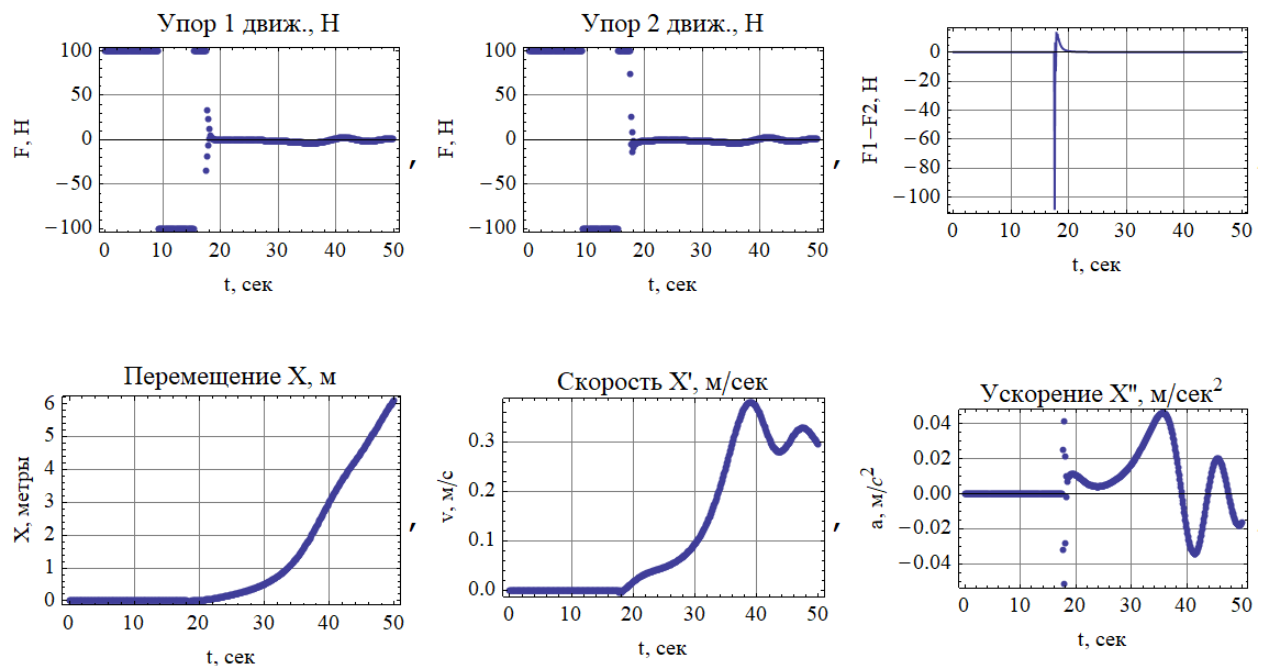
$$c = \cos(\alpha), s = \sin(\alpha).$$

Итак, для имитации управления в цикле выполняются три действия (по полной аналогии рисунка 1.2): 1) по заданной цели для каждой степени подвижности вычисляются фазовые траектории по формулам (1.7), 2) эти значения подставляются в формулы сил (1.16), 3) а они, в свою очередь, подставляются в формулы модели аппарата (1.15). И так далее, 1-2-3...

Рассмотрим выполнение задания перемещения аппарата на 65 метров по оси ординат и поворот на угол  $45^\circ$ . Результаты приведены на рисунке 1.6.

Анализ результатов показывает, что перемещение осуществлялось не одновременно с поворотом. Более того, перерегулирование достигло 20%, положение в целевом положении по оси ординат оказалось неустойчивым (после 30 секунд положение стало «уплывать»), а позиция по оси абсцисс сместилась на 6 метров, хотя задания такого не было.

Цели настоящей работы: описанными методами добиться согласованных движений по степеням подвижности, минимизировать паразитные движения и убрать перерегулирование и колебания для СУ сложными объектами управления.



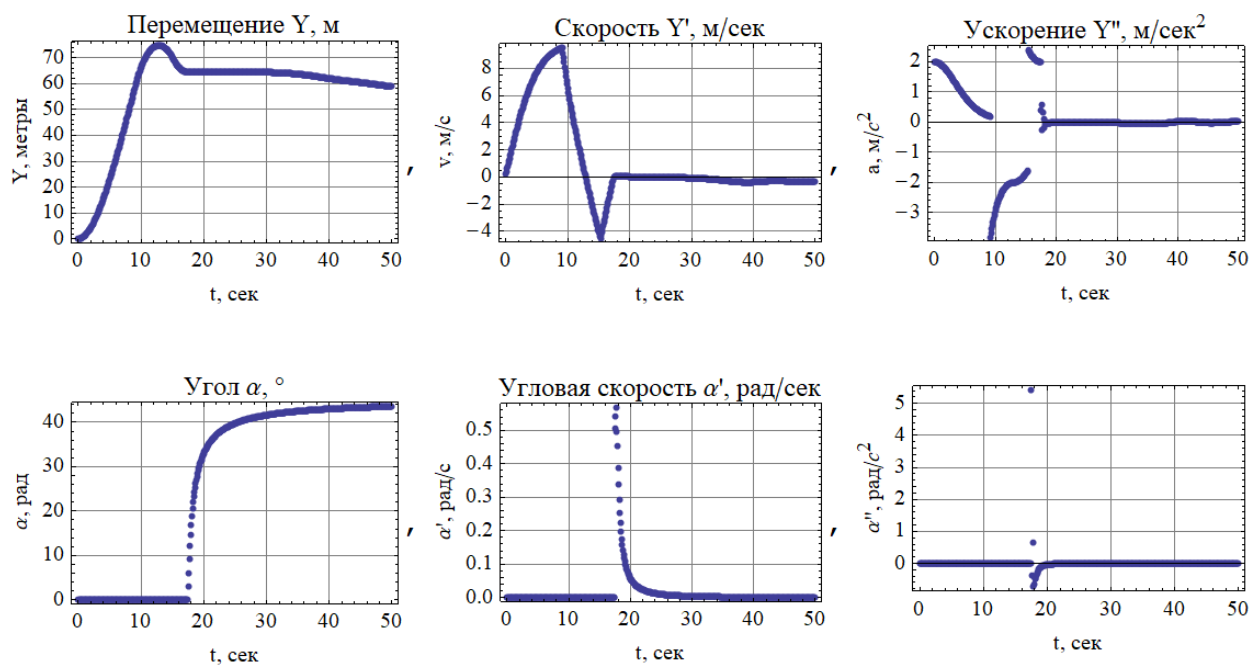


Рисунок 1.6 – Результаты отработки задания перемещения и поворота